4 株新城疫病毒 F 蛋白和 HN 蛋白的计算机 模建与表面抗原分析

胡思科1,2,席瑞珍1,任 涛1,廖 明1

(1 华南农业大学 兽医学院,广东 广州 510642;2 河南理工大学 资源环境学院,河南 焦作 454000)

摘要:选取新城疫病毒(Newcastle disease virus,NDV)广东分离毒 GM 株(强毒株)和JM 株(弱毒株)以及疫苗毒 La-Sota 株和标准强毒 F48E9 株,对其融合蛋白(F)和神经氨酸酶(HN)的编码基因序列进行分析,并利用 Insight II 软件包(Version 2000)进行 F 蛋白和 HN 蛋白 C 端蛋白单体的空间结构模建. 结果显示,4 个 NDV 毒株 F 蛋白单体分子的空间结构极为相似,大致分为 3 部分,即头部、茎部和柄部. 其中头部结构主要由一些折叠股组成,茎部和柄部主要由螺旋结构组成. 比较各毒株 F 蛋白表面蛋白溶剂可及表面积(ASA)后发现,该蛋白有 5 个线性 B 细胞表位和 8 个比较保守的抗原决定簇位点,蛋白头部残基的空间位置随毒株的不同而变异较大. GM 株与 F48E9 株存在36 个氨基酸残基的差异,JM 株和 LaSota 株存在20 个氨基酸残基的差异. 研究结果还表明,4 个 NDV 毒株的 HN 蛋白 C 端空间结构较保守,由多个折叠股和 4 段螺旋结构组成,其抗原决定簇位点也高度保守,只有 4 个氨基酸残基存在差异.

关键词:F蛋白; HN蛋白; 模建; 表面蛋白溶剂可及表面积(ASA)

中图分类号: S852.65

文献标志码:A

文章编号:1001-411X(2013)01-0087-06

Construction and Analysis of Three-Dimensional Graphic Model of F and HN Protein Monomer from Four Newcastle Disease Virus Strains

HU Sike^{1, 2}, XI Ruizhen¹, REN Tao¹, LIAO Ming¹

- (1 College of Veterinary Medicine, South China Agricultural University, Guangzhou 510642, China;
- 2 College of Resources and Environment, Henan Polytechnic University, Jiaozuo 454000, China)

Abstract: Two isolates of Newcastle disease virus (NDV) recently prevailing in Guangdong Province were collected. The whole genome sequences were analyzed. The 3D (three-dimensional) structures of F protein monomer and the C'end of HN protein monomer of GM, JM, LaSota and F48E9 were successfully constructed by homology modeling and MODELER program on SGI Indigo2 IMPACT10000. Comparisons of the whole 3D structure of F protein showed that there were no obvious differences among these strains. The results also revealed that F protein was composed of three main parts, the head region, some β -pleated, sheets and the neck region consisted of a β -pleated sheet and α -helix motif whereas the stalk region mainly consisted of α -helix motif. Comparisons of ASA and fraction of NDV F protein showed that there were five lined B cell epitope peptides and eight conservative antigenic determinants sites. It also showed there was a notable variation in spatial structure of the head region of F protein, with 36 residues differ-

收稿日期:2012-05-26 网络出版时间:2013-01-11

网络出版地址:http://www.cnki.net/kcms/detail/44.1110.S.20130111.0927.015.html

作者简介: 胡思科(1979—), 女, 讲师, 硕士; 通信作者: 廖明(1968—), 男, 教授, 博士, E-mail: mliao@ scau. edu. cn

基金项目:教育部创新团队项目(IRT0723);教育部新世纪优秀人才支持计划(NCET-06-0752);国家高技术研究发展计划项目(2006AA10A205);国家科技支撑计划(2006BAD06A16-2);广东省自然科学基金创新团队项目(5200638);广东省重大科技计划项目(2005A20401003);广东省科技计划项目(2006B0152);广东省教育厅项目(0041101020070521)

ence between GM and F48E9 and 20 residues difference between JM and LaSota. The study also showed that the C'end of HN protein monomer of strains GM, JM, LaSota and F48E9 were identical and mainly consisted of some β -pleated sheet and four α -helix motifs, in which antigenic determinants sites were highly conservative and had only four sites variation among these strains. This indicated that the variation of the NDV antigenic made the development of new vaccines NDV inevitable.

Key words: fusion protein; hemagglutinin-neuraminidase protein; homology modeling; solvent-accessible surface area (ASA)

新城疫(Newcastle disease, ND)又称为亚洲鸡瘟或伪鸡瘟,是由新城疫病毒(Newcastle disease virus, NDV)引起鸡/鸽或其他禽类的一种高度接触性传染病,发病率和死亡率均很高,是危害我国养禽业生产的最严重疾病之一^[1-2].自 1926 年发现 NDV 以来,NDV已确定9个I类和10个II类病毒基因型.全球范围内不断出现的 NDV新型毒株及现有 NDV低毒株或高毒株中基因组序列的变化表明,该病毒在不断进化^[3]. Hu等^[4]对山东省种鸭养殖场分离到的 NDV进行相似性分析,结果表明这些分离株在核酸水平上与I系在f基因可变区有1.9%~9.9%的变异,与II系则有38.5%~41.2%的变异. Choi等^[5]和 Lee等^[6]对韩国的活禽市场健康鸡和鸭进行 NDV 毒株监测,系统发育分析显示这些活禽体内分离的 NDV 属于多种不同的基因型.

目前,防治 ND 的主要方法仍为接种弱毒疫苗, 其中以 LaSota 和 Clone30 等弱毒疫苗最为常用,但由 于 NDV 毒株众多,毒力差别较大,给 ND 的防控带来 极大困难^[7-8]. 研究结果表明,构成 NDV 囊膜表面的 大小纤突为 F 蛋白和 HN 蛋白,2 种蛋白在机体免疫 应答和致病过程中发挥着极其重要的作用. HN 蛋白 在病毒侵染过程中起识别受体的作用,而 F 蛋白则 参与病毒与宿主细胞及宿主细胞间融合过程,2种蛋 白均为 NDV 的保护性抗原[9-10]. 因此,对 F 蛋白和 HN 蛋白进行抗原变异研究,对了解和把握 NDV 的变 异规律具有重要意义. 本研究在对分离自广东省的2 株 NDV 野毒 GM 株(强毒株)和 JM 株(弱毒株)以及 NDV 疫苗毒株 LaSota 和标准强毒株 F48E9 的 f 和 hn 基因进行克隆与序列测定的基础上[11],进一步采用计 算机同源模建的方法对这 4 个 NDV 毒株的 F 蛋白 (氨基酸残基 33~105 位和 171~454 位)与 HN 蛋白 C 端的空间结构进行模建. 通过计算机图形学及分子 模拟手段,计算 4 个 NDV 毒株的 F 蛋白与 HN 蛋白的 单体的表面蛋白溶剂可及表面积(Solvent-accessible surface area, ASA), 并根据 ASA 预测 F 蛋白与 HN 蛋 白的表面抗原位置的分布和各毒株之间抗原差异性.

1 材料与方法

1.1 NDV 的 F 蛋白和 HN 蛋白的编码基因序列和 推导氨基酸序列

GM 株、JM 株、LaSota 株及 F48E9 株 F 蛋白和 HN 蛋白的编码基因序列和推导氨基酸序列,参见席 瑞珍[11].

1.2 ND 毒株 F 蛋白的三维结构模建

采用 InsightII 软件包(Version 2000)的 MODEL-ER 程序进行同源模建. 所有计算工作均使用了 BIO-SYM/MSI 分子模拟系统. 所用的计算机是 SGI Indigo2 IMPACT10000 图形工作站.

为了准确地模建 GM 株、JM 株、LaSota 株及 F48E9 株 F 蛋白的空间结构,笔者选取了蛋白质结构数据库中 NDV F 蛋白(PDB 编号为 1G5G,分辨率为 3.30 Å)作为模建的模板. 这个结构由 73 个氨基酸和 284 个氨基酸残基的 2 个片段组成,它们分别对应 F 蛋白的 F2 肽段(33~105 位氨基酸)和 F1 肽段,各毒株相同肽段氨基酸序列相似性分别达到94%和 97%.

1.3 ND 毒株 HN 蛋白 C 端空间结构的模建

利用 MODELER 程序和同源模建技术,模建 GM 株、JM 株、LaSota 株及 F48E9 株 HN 蛋白 C 端氨基酸 残基的空间结构. 选取蛋白质结构数据库中 NDV HN 蛋白 C 端(片段为头部区域,残基为 124~577位氨基酸,PDB 编号为 1USX,分辨率为 2.70 Å)为参考蛋白,参考蛋白与待模建的 GM 株、JM 株、LaSota 株及 F48E9 株 HN 蛋白的氨基酸序列高度保守,相似性达到 96%,可保证模建 HN 结构的精确性.

1.4 F 蛋白和 HN 蛋白空间结构比较以及蛋白单体 的 ASA 分析

对 GM 株、JM 株、LaSota 株及 F48E9 株 F 蛋白和 HN 蛋白进行叠加计算 α 碳原子和主链原子的均平 方根偏差(RMS),以探求其空间结构的差异,同时通过计算 4 个 NDV 毒株 F 蛋白和 HN 蛋白的单体 ASA 来预测表面抗原位置的分布.

2 结果

2.1 F 蛋白与 HN 蛋白三维结构特征

图 1、图 2 分别为 GM 株、JM 株、LaSota 株及 F48E9 株 F 蛋白模建空间结构. 从立体空间构象来看,F 蛋白的空间结构大致分为 2 部分,头部和茎部. 头部结构主要由一些折叠股组成,茎部主要由一长一短 2 段螺旋结构组成. 4 个毒株的 HN 蛋白 C 端空间构象相同,主要由多个折叠股和 4 段螺旋结构组成(圆柱状代表螺旋,条带状代表折叠股)(图 3).

2.2 F 蛋白和 HN 蛋白空间结构比较

对这 4 个毒株 F 蛋白的空间结构进行叠和比较分析后可发现,其分子空间结构变化不大. 相对而言,头部是整个 F 蛋白中分子结构变化最大的部分(图 4).

对这 4 个毒株 HN 蛋白的空间三级结构进行叠和比较分析后可发现,其分子空间结构几乎完全重叠,呈现高度保守的特点(图 5).

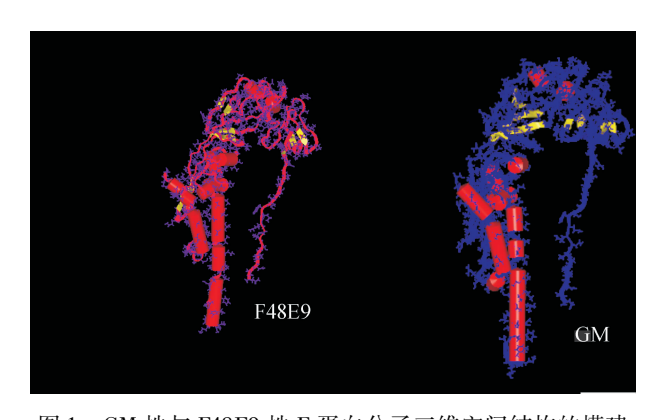


图 1 GM 株与 F48E9 株 F 蛋白分子三维空间结构的模建 Fig. 1 Model of three-dimensional structure of F protein monomer from GM strain and F48E9 strain

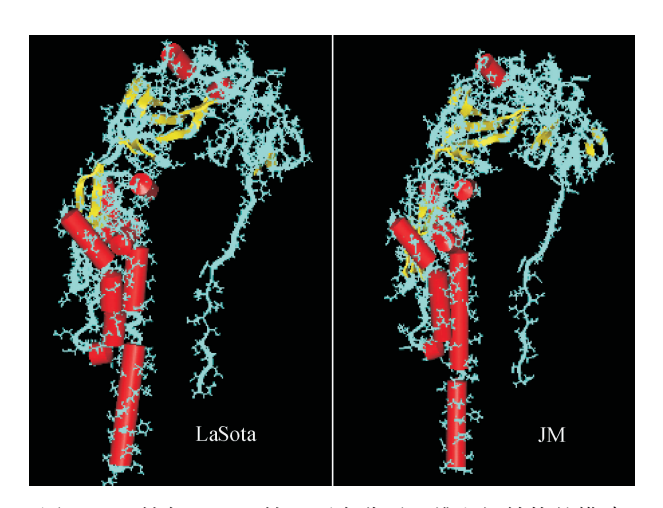


图 2 JM 株与 LaSota 株 F 蛋白分子三维空间结构的模建 Fig. 2 Model of three-dimensional structure of F protein monomer from JM strain and LaSota strain

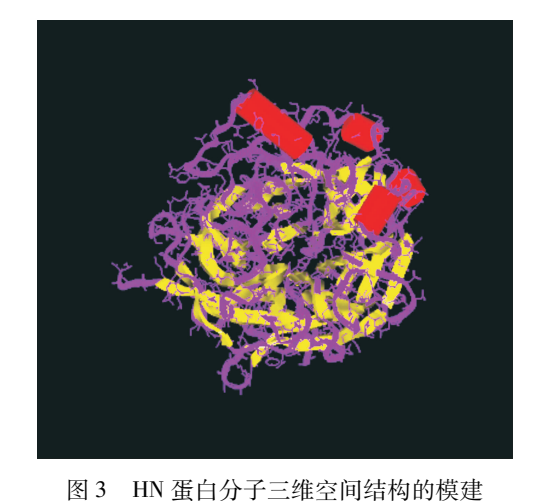


Fig. 3 Model of three-dimensional structure of NDV HN protein monomer

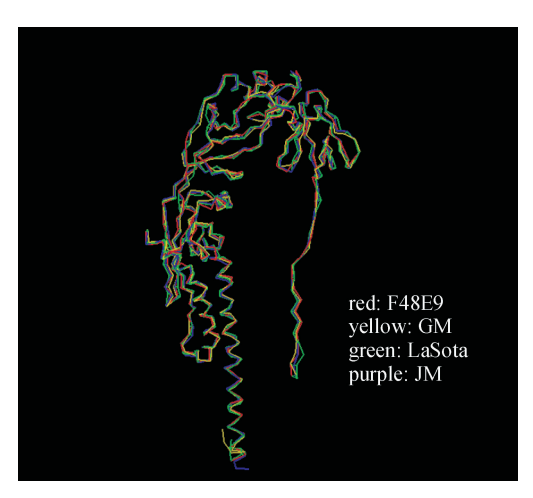


图 4 GM 株、JM 株、LaSota 株及 F48E9 株 F 蛋白分子三维空间结构的叠和

Fig. 4 Superimpose model of three-dimensional structure of F protein monomer from GM strain, F48E9 strain, JM strain and LaSota strain

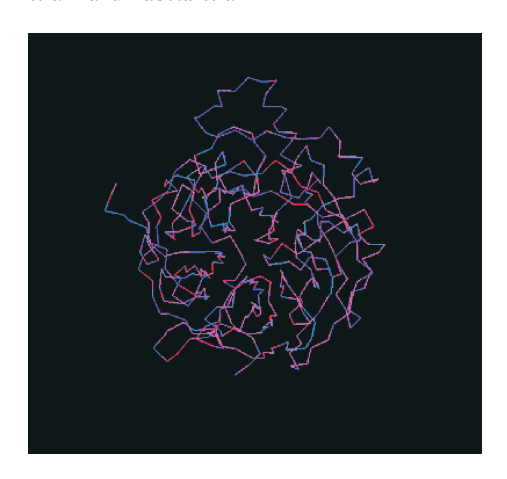


图 5 GM 株、JM 株、LaSota 株及 F48E9 株 HN 蛋白分子三维 空间结构的叠和

Fig. 5 Superimpose model of three-dimensional structure of HN protein monomer from GM strain, F48E9 strain, JM strain and LaSota strain

2.3 F蛋白分子表面抗原位点的空间结构比较

ASA 综合分析表明, F 蛋白具有 5 个线性 B 细胞表位肽段,分别为 P1:68~75 位氨基酸; P2:100~105 位氨基酸; P3:171~183 位氨基酸; P4:375~380 位氨基酸; P5:438~454 位氨基酸. 其中 P1、P2 位于 F2 亚单位,P3、P4 位于 F1 亚单位,P5 则位于 F1 亚单位七肽重复序列 HR2 区含有的一段跨膜区上.

F蛋白主要功能区的抗原位点及十几个半胱氨酸位点高度保守.除了5个线性B细胞表位肽,GM株、JM株、LaSota株及F48E9株4个NDV毒株的F蛋白上至少还有8个抗原决定簇位点(72、74、75、78、79、171、343和388),这些位点是比较保守的.第72位和第343位2个位点分别位于F蛋白的主要抗原决定簇区域,即F2亚单位主要疏水区和F1亚单位C末端富含半胱氨酸区,这2个位点围绕形成融合诱导区,参与膜融合过程,其中任何一个位点的改变都将引起F蛋白空间结构的变化,并对F蛋白的功能产生直接影响.

研究结果表明,4 株 NDV 的 F 蛋白 33~105 位 氨基酸片段中,72 和 84~89 位之间的氨基酸序列高度保守,其中第72 位的氨基酸残基对 F 蛋白抗原决定簇的空间折叠有重要作用.而 F1 蛋白处于头部的

氨基酸片段变异较大,这也是引起 F1 抗原差异的主要原因.

通过抗原表位的分布以及对蛋白抗原表位残基的溶剂可及表面的溶剂可及面积和可及分数进行比较分析发现,GM 株和 F48E9 株、JM 株和 LaSota 株、GM 株和 LaSota 株存在差异较大氨基酸残基分别有36、20 和39 个(表1~表3).

2.4 HN 蛋白分子表面抗原位点的空间结构比较

对 HN 蛋白分子表面抗原位点研究后发现, HN 蛋白表面抗原位点主要集中在 263、287、321、332、333、345、347、350、353、472、479、478、513、514、521、569、401~443 区域.

对 GM 株和 F48E9 株 HN 蛋白的 ASA 和可及分数进行比较发现,它们之间只有 4 个氨基酸残基差异较大,分别为 256 位(GLY/GLU),266 位(ALA/ILE),293 位(LYS/GLY),495 位(GLU / LYS)(表 4).

对 JM 株与 LaSota 株 HN 蛋白的 ASA 和可及分数进行比较发现,它们之间只有 4 个氨基酸残基差异较大,分别为 218 位(ARG / GLY),269 位(SER / ARG),293 位(GLU / GLY),495 位(LYS / VAL)(表 5).

表 1 F48E9 株与 GM 株 F 蛋白的溶剂可及表面积(ASA)差异显著的残基

Tab. 1 Notable difference residues of ASA and fraction of F protein between F48E9 and GM strain

| | F48E9 株 | | | GM 株 | | | F48E9 株 | | | GM 株 | |
|---------|----------|----------|---------|---------|----------|---------|----------|----------|---------|----------|----------|
| 位置 | ASA/Ų | 可及 分数 | 位置 | ASA/Ų | 可及 分数 | 位置 | ASA/Ų | 可及 分数 | 位置 | ASA/Ų | 可及 分数 |
| ILE_350 | 134. 272 | 0.703 | ILE_350 | 63.2 | 0.332 | THR_310 | 118.453 | 0.676 | THR_310 | 142. 184 | 0.827 |
| GLY_293 | 55.851 | 0.685 | GLY_293 | 28.98 | 0.377 | LYS_201 | 121.040 | 0.529 | LYS_201 | 172.701 | 0.689 |
| GLY_254 | 61.029 | 0.639 | GLY_254 | 31.393 | 0.345 | LYS_446 | 160. 547 | 0.701 | LYS_446 | 193.725 | 0.874 |
| ILE_407 | 116.903 | 0.654 | ILE_407 | 71.515 | 0.385 | GLU_340 | 79. 189 | 0.430 | GLU_340 | 104.673 | 0.612 |
| PRO_36 | 117.631 | 0.712 | PRO_36 | 78.305 | 0.469 | SER_437 | 53.752 | 0.400 | ASN_437 | 92.029 | 0.589 |
| ILE_235 | 158.460 | 0.788 | ILE_235 | 111.091 | 0.561 | ALA_39 | 47.675 | 0.356 | ALA_39 | 75.229 | 0.545 |
| ILE_432 | 98.007 | 0.557 | ILE_432 | 56.51 | 0.341 | ASN_294 | 51.249 | 0.330 | ASN_294 | 82.892 | 0.523 |
| ALA_402 | 75.525 | 0.655 | THR_402 | 65.407 | 0.447 | ASN_68 | 102.700 | 0.585 | ASN_68 | 142.472 | 0.779 |
| MET_371 | 119.424 | 0.595 | MET_371 | 80.964 | 0.388 | THR_385 | 57.870 | 0.394 | ALA_385 | 62.562 | 0.591 |
| ALA_75 | 85.927 | 0.724 | ALA_75 | 61.737 | 0.518 | PHE_314 | 96.303 | 0.437 | TYR_314 | 152.991 | 0.635 |
| LEU_91 | 119.578 | 0.599 | LEU_91 | 75.953 | 0.396 | SER_336 | 72.032 | 0.543 | SER_336 | 98.467 | 0.748 |
| ASN_245 | 108.148 | 0.631 | ASN_245 | 67.515 | 0.440 | ASP_198 | 63.408 | 0.363 | ASP_198 | 93.995 | 0.590 |
| GLY_365 | 83.869 | 0.836 | GLY_365 | 67.864 | 0.649 | GLN_183 | 75.661 | 0.362 | GLN_183 | 116.566 | 0.602 |
| GLY_244 | 65.381 | 0.644 | GLY_244 | 46.053 | 0.470 | SER_60 | 52.607 | 0.401 | SER_60 | 86.797 | 0.663 |
| ASN_187 | 99.870 | 0.557 | ASN_187 | 69.484 | 0.389 | VAL_179 | 146.478 | 0.511 | VAL_179 | 198.911 | 0.786 |
| ASN_257 | 119.633 | 0.687 | ASN_257 | 86.112 | 0.521 | SER_409 | 55.386 | 0.435 | SER_409 | 98.509 | 0.731 |
| THR_311 | 99.269 | 0.583 | THR_311 | 65.412 | 0.421 | ARG_100 | 95.622 | 0.417 | ARG_100 | 174. 117 | 0.732 |
| LYS_374 | 120.904 | 0.587 | LYS_374 | 98.888 | 0.437 | ASP_342 | 72.418 | 0.416 | ASP_342 | 126.091 | 0.732 |

表 2 JM 株与 LaSota 株 F 蛋白的溶剂可及表面积(ASA)差异显著的残基

Tab. 2 Notable difference residues of ASA and fraction of F protein between JM and LaSota strain

| JM 株 | | | LaSota 株 | | | JM 株 | | | LaSota 株 | | |
|---------|---------|----------|----------|---------|----------|---------|----------------------|----------|----------|----------|----------|
| 位置 | ASA/Ų | 可及 分数 | 位置 | ASA/Ų | 可及 分数 | 位置 | ASA/\mathring{A}^2 | 可及 分数 | 位置 | ASA/Ų | 可及 分数 |
| SER_261 | 88.058 | 0.644 | SER_261 | 56. 125 | 0.402 | LEU_343 | 114.761 | 0.564 | LEU_343 | 83.369 | 0.407 |
| SER_265 | 76.614 | 0.566 | GLY_265 | 33.126 | 0.344 | GLU_82 | 89.637 | 0.496 | ASP_82 | 53.087 | 0.344 |
| ARG_421 | 162.180 | 0.654 | LYS_421 | 89.567 | 0.438 | ASP_33 | 70.796 | 0.332 | ASP_33 | 102.936 | 0.483 |
| SER_60 | 85.350 | 0.672 | SER_60 | 59.339 | 0.460 | GLU_104 | 122.686 | 0.668 | GLU_104 | 144. 284 | 0.838 |
| THR_58 | 100.850 | 0.642 | THR_58 | 64.731 | 0.434 | LEU_230 | 122. 190 | 0.607 | LEU_230 | 148.620 | 0.781 |
| GLY_180 | 64.848 | 0.684 | GLY_180 | 46. 265 | 0.488 | GLY_313 | 39.973 | 0.359 | GLY_313 | 55.999 | 0.536 |
| VAL_179 | 146.095 | 0.685 | VAL_179 | 118.608 | 0.504 | ASN_257 | 117.588 | 0.648 | ASN_257 | 141.526 | 0.826 |
| VAL_329 | 85.188 | 0.519 | VAL_329 | 56. 180 | 0.343 | SER_278 | 58.740 | 0.426 | SER_278 | 87.649 | 0.635 |
| GLU_196 | 90.869 | 0.490 | GLU_196 | 58.939 | 0.321 | LEU_418 | 86. 891 | 0.451 | LEU_418 | 126.452 | 0.662 |
| PHE_314 | 121.900 | 0.552 | PHE_314 | 84. 278 | 0.390 | SER_328 | 95.343 | 0.636 | SER_328 | 131.587 | 0.876 |

表 3 GM 株与 LaSota 株 F 蛋白的溶剂可及表面积(ASA)差异显著的残基

Tab. 3 Notable difference residues of ASA and fraction of F protein between GM and LaSota strain

| Tab. 3 Notable difference residues of ASA and fraction of F protein between GM and LaSota strain | | | | | | | | | | | |
|--|----------|----------|----------|---------|----------|---------|----------------------|----------|----------|----------|----------|
| GM 株 | | | LaSota 株 | | | GM 株 | | | LaSota 株 | | |
| 位置 | ASA/Ų | 可及 分数 | 位置 | ASA/Ų | 可及 分数 | 位置 | ASA/\mathring{A}^2 | 可及 分数 | 位置 | ASA/Ų | 可及 分数 |
| GLY_267 | 58.433 | 0.637 | GLY_267 | 28.115 | 0.313 | VAL_326 | 81.439 | 0.535 | VAL_326 | 58.827 | 0.384 |
| LEU_343 | 143.455 | 0.711 | LEU_343 | 83.369 | 0.407 | GLU_82 | 84. 157 | 0.494 | ASP_82 | 53.087 | 0.344 |
| VAL_179 | 198.911 | 0.786 | VAL_179 | 118.608 | 0.504 | TYR_412 | 169.936 | 0.729 | TYR_412 | 211.229 | 0.880 |
| VAL_329 | 98.599 | 0.619 | VAL_329 | 56.18 | 0.343 | SER_373 | 46.921 | 0.342 | SER_373 | 66.503 | 0.494 |
| SER_261 | 90.394 | 0.667 | SER_261 | 56. 125 | 0.402 | LEU_418 | 90.413 | 0.510 | LEU_418 | 126.452 | 0.662 |
| TYR_314 | 152.991 | 0.635 | PHE_314 | 84.278 | 0.390 | LEU_295 | 59.578 | 0.319 | LEU_295 | 83.616 | 0.472 |
| GLN_183 | 116.566 | 0.602 | GLN_183 | 72.889 | 0.363 | SER_364 | 38.493 | 0.314 | SER_364 | 58.748 | 0.472 |
| GLU_414 | 110.452 | 0.539 | GLU_414 | 57.247 | 0.301 | ALA_75 | 61.737 | 0.518 | ALA_75 | 81.555 | 0.676 |
| PRO_70 | 140.662 | 0.851 | PRO_70 | 91.413 | 0.623 | ILE_407 | 71.515 | 0.385 | ILE_407 | 98.393 | 0.544 |
| GLY_265 | 53.138 | 0.566 | GLY_265 | 33.126 | 0.344 | LYS_387 | 149.934 | 0.665 | LYS_387 | 186.211 | 0.833 |
| ALA_39 | 75.229 | 0.545 | ALA_39 | 43.846 | 0.326 | ASN_240 | 74. 291 | 0.417 | ASN_240 | 89.347 | 0.587 |
| ASN_296 | 126.033 | 0.745 | ASN_296 | 86.307 | 0.533 | ASP_247 | 93.165 | 0.528 | ASP_247 | 126.569 | 0.716 |
| ARG_100 | 174. 117 | 0.732 | ARG_100 | 124.842 | 0.521 | LYS_181 | 180.842 | 0.653 | LYS_181 | 209.742 | 0.842 |
| ASP_430 | 119.711 | 0.734 | GLY_430 | 50.903 | 0.525 | ASN_192 | 58.175 | 0.337 | LYS_192 | 118. 186 | 0.565 |
| SER_60 | 86.797 | 0.663 | SER_60 | 59.339 | 0.460 | SER_278 | 52.807 | 0.398 | SER_278 | 87.649 | 0.635 |
| MET_69 | 110.349 | 0.587 | LEU_69 | 75.792 | 0.391 | GLY_104 | 61.128 | 0.600 | GLU_104 | 144. 284 | 0.838 |
| ALA_385 | 62.562 | 0.591 | THR_385 | 60.451 | 0.409 | LEU_230 | 99.615 | 0.510 | LEU_230 | 148.620 | 0.781 |
| LYS_252 | 131.236 | 0.607 | LYS_252 | 80.976 | 0.428 | SER_328 | 75.810 | 0.572 | SER_328 | 131.587 | 0.876 |
| ALA_378 | 119.840 | 0.966 | ALA_378 | 98.476 | 0.788 | ASN_257 | 86.112 | 0.521 | ASN_257 | 141.526 | 0.826 |
| GLY_243 | 69.970 | 0.762 | GLY_243 | 50.789 | 0.611 | | | | | | |

表 4 F48E9 株与 GM 株 HN 蛋白的溶剂可及表面积(ASA) 差异显著的残基

Tab. 4 Notable difference residues of ASA and fraction of HN protein between F48E9 and GM strain

| | F48E9 株 | | | GM 株 | |
|---------|----------|----------|---------|---------|----------|
| 位置 | ASA/Ų | 可及 分数 | 位置 | ASA/Ų | 可及 分数 |
| LYS_495 | 150. 284 | 0.718 | GLU_495 | 80.233 | 0.435 |
| ILE_266 | 113.741 | 0.690 | ALA_266 | 50.598 | 0.517 |
| GLU_256 | 74.621 | 0.455 | GLY_256 | 44.010 | 0.614 |
| GLY_293 | 33.925 | 0.372 | LYS_293 | 122.070 | 0.628 |

表 5 JM 株与 LaSota 株 HN 蛋白的溶剂可及表面积(ASA) 差异显著的残基

Tab. 5 Notable difference residues of ASA and fraction of HN protein between JM and LaSota strain

| | JM 株 | | | LaSota 株 | |
|---------|----------------------|----------|---------|----------------------|----------|
| 位置 | ASA/\mathring{A}^2 | 可及 分数 | 位置 | ASA/\mathring{A}^2 | 可及 分数 |
| ARG_218 | 134.382 | 0.611 | GLY_218 | 23.727 | 0.311 |
| GLU_293 | 108.382 | 0.582 | GLY_293 | 33. 155 | 0.366 |
| LYS_495 | 149.988 | 0.717 | VAL_495 | 82.147 | 0.512 |
| SER_269 | 40.971 | 0.336 | ARG_269 | 122.998 | 0.525 |

3 讨论

疏水相互作用在维系蛋白质聚集体结构稳定方面占有重要的地位.蛋白质与蛋白质间的疏水相互作用通常与接触表面的非极性基团的分布密切相关.抗原-抗体复合物的形成总是倾向于把疏水残基埋藏在分子的内部.通过考察蛋白与蛋白质接触界面的非极性基团的平均分布以及用半经验方法计算抗原-抗体之间疏水自由能可定量地评估疏水相互作用对抗原-抗体复合物形成过程的贡献.

ASA 的计算采用了 Lee 等^[12] 对分子表面的定义,其分子探针半径为 1.4 nm. 本文采用计算机同源模建的方法先后模建了 GM 株、JM 株、LaSota 株及 F48E9 株等 4 个 NDV 毒株的 F 蛋白(残基 33~105位氨基酸和残基 171~454位氨基酸)和 HN 蛋白 C 端空间结构,并利用已有的试验数据,结合模建的结构进行了结构功能的分析,通过计算机图形学及分子模拟手段,计算 4 个 NDV 毒株的 F 蛋白与 HN 蛋白的表面抗原位置的分布以及各毒株之间 F 蛋白和 HN 蛋白的抗原差异性.

通过蛋白三级结构分析可以看出. 传统疫苗毒株 LaSota 与 NDV 野毒株 GM 和 JM 株在 F 蛋白的表面抗原上存在着较大的差别,标准强毒株 F48E9 与 NDV 野毒株 GM 和 JM 株在 F 蛋白的表面抗原上也存在着较大的差别,这有可能导致各毒株的抗原性

和毒力等生物学特性发生改变.

我国现在普遍使用的 NDV 疫苗毒株包括 I 系 (Maktesuar)、IHYUUUI 系 (BI) 和 IV 系 (LaSota),它 们与目前国内流行的基因 VII 型毒株在基因序列特征方面有明显的差异. 从本研究结果也可以看出,疫苗毒 LaSota 株与 GM、JM 等分离株的三级结构有明显差异. 因为抗原决定簇位点氨基酸残基的改变有可能导致抗原性发生改变,所以使用常规疫苗未必能完全保护不同基因型新城疫病毒的攻击,但这需要更多的动物试验数据来证明.

参考文献:

- [1] 甘孟侯. 中国禽病学[M]. 北京: 中国农业出版社, 1997:1-10.
- [2] 崔治中. 我国家禽新城疫流行现状[J]. 中国家禽, 2002, 24 (4):4-6.
- [3] MILLER P J, DECANINI E L, AFONSO C L. Newcastle disease: Evolution of genotypes and the related diagnostic challenges [J]. Infect Genet Evol, 2010, 10(1):26-35.
- [4] HU Beixia, HUANG Yanyan, HE Yefeng, et al. Avian influenza virus and Newcastle disease virus (NDV) surveillance in commercial breeding farm in China and the characterization of Class I NDV isolates [J]. Vet Microbiol, 2010, 144(1/2):82-86.
- [5] CHOI K S, LEE E K, JEON W J, et al. Molecular epidemiologic investigation of lentogenic Newcastle disease virus from domestic birds at live bird markets in Korea [J]. Avian Dis, 2012, 56(1):218-223.
- [6] LEE E K, JEON W J, KWON J H, et al. Molecular epidemiological investigation of Newcastle disease virus from domestic ducks in Korea [J]. Vet Microbiol, 2009, 134 (3/4):241-248.
- [7] SAIF Y M. 禽病学 [M]. 苏敬良, 高福, 索勋,译. 11 版. 北京:中国农业出版社, 2005;5-9.
- [8] LIU X F, WAN H Q, NI X X, et al. Pathotypical and genotypical characterization of strains of Newcastle disease virus isolated from outbreaks in chicken and goose in some regions of China during 1985-2001 [J]. Arch Virol, 2003, 148(7):1387-1403.
- [9] 王琴,罗晶璐,蒋文泓,等.新城疫病毒单克隆抗体的制备及鉴定[J].华南农业大学学报,2009,30(2):112-114.
- [10] 罗晶璐,齐岩,任涛. 新城疫病毒 HN 基因主要抗原位 点区段的原核表达[J]. 华南农业大学学报,2009,30 (4):90-93.
- [11] 席瑞珍. 新城疫病毒 GM 株和 JM 株基因组分析及含全 长基因组 cDNA 克隆的构建[D]. 广州:华南农业大学,2007.
- [12] LEE B, RICHARDS F M. The interpretation of protein structures: Estimation of static accessibility[J]. J Mol Biol, 1971, 55;379-400.

【责任编辑 柴 焰】